

Ecocardiografía en las complicaciones de la enfermedad grave de la microcirculación coronaria

Echocardiography in severe coronary microcirculation disease complications

Rodolfo Vega Candelario^{1*} <http://orcid.org/0000-0003-4459-8350>

¹Hospital Provincial Docente “Roberto Rodríguez Fernández”. Ciego de Ávila, Cuba.

*Autor para la correspondencia: rvc_50@infomed.sld.cu

Recibido: 30/09/2019

Aprobado: 29/10/2019

Paciente de 47 años de edad, con historia de dislipoproteinemia familiar y personal, sin hábitos tóxicos. Presentó dolor coronario típico y se diagnosticó un síndrome coronario agudo con elevación del segmento ST. La coronariografía fue normal. Se mantuvo con síntomas y signos graves de isquemia miocárdica.⁽¹⁾ En la AngioTac se observó una enfermedad grave de la microcirculación coronaria.⁽²⁾ En el ecocardiograma se evidenciaron trastornos regionales de la contractilidad con disminución de la fracción de eyección (FEVI).⁽³⁾ Se comprobaron los resultados ecocardiográficos con la resonancia magnética nuclear y el estudio de perfusión miocárdica con radioisótopos.^(4,5)

1. AngioTac: diagonales coronarias con lesiones severas (flechas verdes) y arterias epicárdicas normales (flechas amarillas) en la cara anterior del ventrículo izquierdo (VI) ([Fig. 1A](#)).
2. Ecocardiograma en 4 cámaras desde el ápex cardíaco: afectación de la FEVI de 42 % ([Fig. 1B](#)).

3. Ecocardiograma en vista desde el ápex visualizando VI: hipoquinesia septo apical con tendencia aneurismática (flecha blanca y roja). Disfunción muscular papilar con insuficiencia mitral ligera (flecha roja) (Fig. 1C).
4. Ecocardiograma en vista 4 cámaras desde ápex: trombo mural gigante septo-apical en VI (flechas blancas) (Fig. 1D).

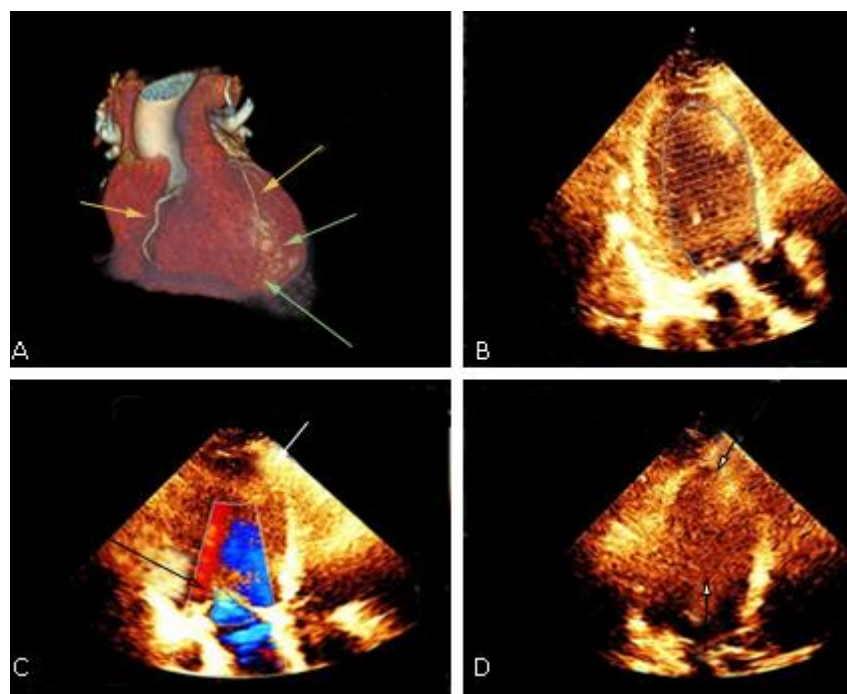


Fig. 1- AngioTac del paciente que evidencia lesiones severas de las arterias coronarias diagonales con enfermedad grave de la microcirculación coronaria (Fig. 1A); FEVI de 42 % (Fig. 1B); Disfunción del músculo papilar e insuficiencia mitral con hipoquinesia septo-apical del VI y tendencia aneurismática (Fig. 1C); trombo gigante en el VI (Fig. 1D).

Referencias bibliográficas

1. Bairey CN, Pepine CJ, Walsh MN, Fleg JL. Ischemia and no obstructive coronary artery disease (INOCA): Developing Evidence-based Therapies and Research Agenda for the Next Decade. Circulation. 2017 March 14 [citado: 15/01/2019];135(11):1075-92. Disponible en: <https://www.ncbi.nlm.nih.gov/pmc/articles/PMC5385930/pdf/nihms850333.pdf>
2. Chacón-Hernández N, San Miguel-Cervera D, Vilar-Herrero V, Rumiz-González E, Berenguer-Jofresa A, Morell-Cabedo S. Síndrome coronario agudo en pacientes con arterias coronarias normales: estudio con tomografía de coherencia óptica. Rev Esp

- Cardiol. 2015 [citado: 15/02/2018];68(6):531-43. Disponible en: <https://www.revespcardiol.org/es-pdf-S0300893215001153>
3. Ahumada S, Restrepo G. Ecocardiografía en infarto agudo de miocardio. Rev Colomb Cardiol. 2014 [citado: 15/02/2018];21(3):164-73. Disponible en: http://www.scielo.org.co/scielo.php?script=sci_arttext&pid=S0120-56332014000300008
4. Dahmani R, Ben R, Arous Y, Mahfoudhi H, Chourabi C, Ghommidh M, et al. Contribution of cardiac magnetic resonance imaging in the diagnosis of acute coronary syndrome with normal coronary angiography. Tunis Med. 2016 [citado: 26/02/2018];94(6):167-72. Disponible en: <https://www.ncbi.nlm.nih.gov/pmc/articles/PMC2876979/pdf/nihms200899.pdf>
5. Ong P, Athanasiadis A, Borgulya G, Vokshi I, Bastiaenen R, Kubik S, et al. Clinical usefulness, angiographic characteristics, and safety evaluation of intracoronary acetylcholine provocation testing among 921 consecutive white patients with unobstructed coronary arteries. Circulation. 2014 [citado: 25/01/2017];129(17):1723-30. Disponible en: <https://ahajournals.org/doi/full/10.1161/CIRCULATIONAHA.113.004096>

Conflictos de intereses

El autor asegura que no existen conflictos de intereses.